



### VASN核酸适配体与端粒酶逆转录酶 脱氧核酶偶联物的生物学功能研究\*

马斐越1)\*\* 李 慧2)\*\* 刘雪梅2) 台福敏1) 邵宁生2) 高 波<sup>2)\*\*\*</sup> (1) 军事科学院军事医学研究院辐射医学研究所,北京市放射生物学重点实验室,北京 100850; 2) 军事科学院军事医学研究院军事认知与脑科学研究所,北京 100850)

摘要 目的 研究肝癌细胞特异性膜蛋白 VASN (vasorin) 的核酸适配体 V4-2 与靶向端粒酶逆转录酶 (human telomerase reverse transcriptase, hTERT)的脱氧核酶(DNAzyme, Dz) 偶联形成的偶联物 V4-2-Dz 在体外和肝癌细胞内的靶 RNA切 割活性,为脱氧核酶递送提供新策略。方法 Mfold 网站预测 V4-2-Dz 的二级结构,通过体外切割实验检测 V4-2-Dz 的切割 活性,通过流式细胞术和激光共聚焦实验检测 V4-2-Dz 和肝癌细胞 HepG2 结合的能力,利用 RT-qPCR 和 MTT 法分析 V4-2-Dz作用于HepG2细胞对hTERT mRNA表达水平和细胞增殖的影响。结果 体外切割实验表明, V4-2-Dz具有切割 hTERT RNA活性;流式细胞术和激光共聚焦实验结果显示, V4-2-Dz可以特异结合并进入HepG2细胞, V4-2-Dz可显著降 低 HepG2 细胞中 hTERT mRNA 水平并抑制细胞增殖。结论 VASN 蛋白的核酸适配体与端粒酶逆转录酶的脱氧核酶偶联物 V4-2-Dz具有靶向肝癌细胞递送和切割活性,基于适配体和脱氧核酶的偶联物为肿瘤药物研究提供新的思路。

关键词 VASN蛋白,适配体,端粒酶逆转录酶,脱氧核酶,肝癌 中图分类号 Q522, Q523 DOI: 10.16476/j.pibb.2023.0263

脱氧核酶 (DNAzyme, Dz) 是具有催化活性 的单链 DNA,对 DNA和RNA等分子具有高效催 化活性和结构识别能力[1]。近年来,基于脱氧核 酶的应用研究取得巨大进展, 脱氧核酶可设计为生 物传感器、DNA或RNA裂解和连接酶、磷酸化和 去磷酸化酶等功能分子用作多种治疗和诊断工具。 其中10-23型脱氧核酶由一个催化中心和两个靶基 因结合臂组成,通过结合臂和靶基因 mRNA 的互 补配对,催化特定部位的切割反应,进而抑制基因 的转录或表达,具有基因沉默功能[2]。作为抗病 毒、抗肿瘤等多种疾病治疗的潜在分子, 脱氧核酶 具有结构稳定、易于制备、免疫原性更低等优点。 但由于其具有负电荷和亲水性,不易通过细胞膜进 入细胞,导致其催化切割效率严重降低,限制了在 临床治疗方面的应用。因此,需要建立提高脱氧核 酶递送的新技术方法。

适配体(aptamer)作为一种新型靶向分子在 药物分子递送中的应用越来越广泛,适配体由一段 单链寡核苷酸(DNA或RNA)序列组成,通过链 内互补碱基间的配对以及静电、氢键作用与靶分子 紧密结合,具有极高的靶分子亲和力和识别能 力[3]。已有研究证实,适配体与具有基因沉默作 用的 siRNA (small interfering RNA, siRNA)、 shRNA (short interfering RNA, shRNA) 及 miRNA (microRNA, miRNA) 偶联, 在细胞中发 挥作用[46]。适配体与G-四链体脱氧核酶偶联也可 以作为生物传感器用于多种分子的检测, 比如 ATP [7]、干扰素 [8]、凝血酶 [9] 等。有研究将细胞 膜核仁素适配体 NCL-APT (nucleolin-aptamer, NCL-APT) 和靶向生存素脱氧核酶 Sur Dz (survivin DNAzyme, Sur Dz) 偶联,证明该偶联 物对癌细胞具有靶向杀伤作用[10]。也有研究报道

郑晓飞 Tel: 010-66931237, E-mail: zhengxf@bmi.ac.cn 高波 Tel: 010-66931301, E-mail: gb5029@hotmail.com 收稿日期: 2023-07-06, 接受日期: 2023-08-18

<sup>\*</sup>国家自然科学基金(31570817, 32071290)资助项目。

<sup>\*\*</sup> 并列第一作者。

<sup>\*\*\*</sup> 通讯联系人。

了一种被封闭的、刺激响应的适配体/脱氧核糖核酸酶索烃纳米结构,索烃纳米结构中的适配体片段与肿瘤细胞表面过度表达的MUC1蛋白结合,可以促进靶向递送纳米结构到细胞内,以实现高度特异性的基因沉默[111]。可以看出,选择靶向细胞膜蛋白质特异、高效的适配体与脱氧核酶偶联,通过适配体的跨膜递送作用,有助于解决脱氧核酶不易进入细胞的问题。

VASN蛋白(vasorin)是一种典型的 I 型膜蛋白,在肝癌细胞中高表达,而在正常肝细胞中低表达,可以作为一种新的肝癌生物标志物<sup>[12]</sup>。我们前期利用指数富集的配基系统进化(systematic evolution of ligands by exponential enrichment, SELEX)技术筛选得到 VASN蛋白的特异核酸适配体 V4-2,并发现其具有跨细胞膜递送的潜能,因此 V4-2 序列可作为候选递送介质 <sup>[13]</sup>。

端粒酶在多种肿瘤组织中高表达,直接抑制端粒酶的逆转录活性是治疗癌症的有效手段<sup>[14]</sup>。在端粒酶的几种组分中,端粒酶逆转录酶(human telomerase reverse transcriptase,hTERT)仅在肿瘤细胞中表达,是肿瘤细胞的特异性靶点<sup>[15]</sup>。我们前期研究发现,10-23 型脱氧核酶能够靶向降解hTERT mRNA,显著降低人肺腺癌细胞 A549 端粒

酶活性<sup>[16]</sup>。因此本研究将核酸适配体 V4-2 与端粒酶 10-23 型脱氧核酶 Dz 连接,即脱氧核酶 Dz 的 5'端与 V4-2 的 3'端连接形成偶联物 V4-2-Dz,检测分析该偶联物的切割活性和结合肝癌细胞的特异性,并验证其对肝癌细胞的影响,以期为脱氧核酶的递送及应用提供新的思路。

#### 1 材料与方法

#### 1.1 材料

人肝癌细胞HepG2和人正常肝细胞L02由本实验室保存; DMEM高糖培养基购于Gibco公司; 胎牛血清(fetal bovine serum)购于PAN-biotech公司; 注射用青霉素和注射用硫酸链霉素购于华北制药股份有限公司; PCR酶购于TOYOBO公司; T7体外转录试剂盒、qPCR酶购于ThermoFisher公司; RNA提取试剂Trizol购于Sigma公司; 反转录试剂盒购于Genstar公司; 琼脂糖胶回试剂盒购于Promega公司; StarStain Red核酸染料购于Genstar公司; MTT检测试剂盒购自北仁化学科技(北京)有限公司。PCR引物、Dz、V4-2、V4-2-Dz、5'端标记荧光素(FAM)的Dz、V4-2、V4-2-Dz合成均由上海生工生物工程有限公司完成,序列信息如表1所示。

Table 1 DNAzyme, aptamer and primer sequences

Name	Sequence $(5' \rightarrow 3')$
Dz	ACTTGCTGAGGCTACAACGAGAAATGGGA
V4-2	AGCAGCACAGAGGTCAGATGGTGGTGATGGGGGGGGCTGTATGCTGGTGTTGTATTGCCCTATGCGTGCTAGGGGGGGG
	CCGTGAA
V4-2-Dz	AGCAGCACAGAGGTCAGATGGTGGTGATGGGGGGGGCTGTATGCTGGTGTTGTATTGCCCTATGCGTGCTAGGGGGGGG
	CCGTGAAACTTGCTGAGGCTAGCTACAACGAGAAATGGGA
hTERT F1	TGTAATACGACTCACTATAGGGTGATTTCTTGTTGGTGACAC
hTERT R1	GGATGGTCTTGAAGTCTGAG
hTERT F2 (qPCR)	GGTCTTGCGGCTGAAGTGTCA
hTERT R2 (qPCR)	GGTTCTTCCAAACTTGCTGATGAAATG
β-Actin F (qPCR)	TTCAGGTTTACTCACGTCATCC
β-Actin R (qPCR)	CCAAATGCGGCATCTTCAAACC

#### 1.2 方法

#### 1.2.1 细胞培养

HepG2 和 L02 细胞培养于含有 10% 胎牛血清、1×10<sup>5</sup> U/L 青霉素和链霉素的 DMEM 高糖培养基中,置于 37℃、5% CO<sub>2</sub>细胞培养箱中培养,用胰蛋白酶消化传代。选择处于对数生长期的细胞进行实验。

### **1.2.2** 体外转录合成端粒酶催化亚基hTERT RNA 片段

按Trizol法提取HepG2细胞总RNA,将其反转录为cDNA,以脱氧核酶Dz的切割位点为中心,设计hTERT上下游PCR引物hTERTF1和hTERTR1,上游引物5'端连接T7启动子序列,经PCR扩增合成hTERTDNA片段,回收扩增产物。以此

PCR产物为模板,利用T7体外转录试剂盒进行体外转录,纯化回收RNA,获得端粒酶催化亚基hTERTRNA片段。

## **1.2.3** 分析脱氧核酶和偶联物对底物RNA的体外切割

将上述体外转录得到的 hTERT RNA 与脱氧核酶 Dz、偶联物 V4-2-Dz 孵育进行底物切割实验。取 5  $\mu$ l 100 nmol/L Dz 或 V4-2-Dz、5  $\mu$ l 10  $\mu$ mol/L hTERT RNA 与 10  $\mu$ l 2×切割缓冲液(50 mmol/L Tris-HCl pH7.5、10 mmol/L MgCl<sub>2</sub>、150 mmol/L NaCl、0.01% SDS)混匀,37℃分别温浴 10、30、60、120、180 min,终止反应后采用 6%变性聚丙烯酰胺凝胶电泳分离切割产物,核酸染料染色观察 Dz、V4-2-Dz 对 hTERT RNA 的切割作用。采用 Image J 软件分析条带灰度值,切割百分比=(实验组底物条带灰度值/对照组底物条带灰度值)×100%。

#### 1.2.4 流式细胞术检测脱氧核酶与细胞结合

将 FAM 标记的 Dz、V4-2、V4-2-Dz 溶解于 DEPC 水中,加入孵育缓冲液(1×PBS, 1 mmol/L MgCl₂, 1 g/L ytRNA),终浓度为 5 μmol/L,再与 HepG2 细胞或 L02 细胞于 37℃ 孵育 60 min,2 000 r/min 离心,弃上清,加入 350 μl 1×PBS-1 mmol/L MgCl₂重悬细胞,流式细胞术检测细胞荧光强度值,利用 Flowjo 软件分析其与细胞的结合情况。

#### 1.2.5 激光共聚焦检测脱氧核酶与细胞的结合

将 FAM 标记的 Dz、V4-2、V4-2-Dz 溶解于 DEPC 水中,加入孵育缓冲液(1×PBS, 1 mmol/L MgCl<sub>2</sub>, 1 g/L ytRNA),终浓度为 5  $\mu$ mol/L,与接 种在共聚焦小皿中的 HepG2 细胞于 37°C共同孵育 60 min,吸弃上清后,用 1×PBS-1 mmol/L MgCl<sub>2</sub>清洗 2次后,加入 100  $\mu$ l 1×PBS-1 mmol/L MgCl<sub>2</sub>,共聚焦显微镜下观察细胞。

# **1.2.6** 实时荧光定量PCR (real time quantitative PCR, RT-qPCR) 检测mRNA水平变化

将 HepG2 细胞按  $2.5 \times 10^4$  细胞/孔接种于 48 孔板,待细胞融合至 70% 左右,在无脂质体无血清条件下转染脱氧核酶,终浓度为  $5~\mu$ mol/L,6~h后加入 10% 血清的 DMEM 培养基中继续培养,转染 48~h后收集细胞,提取各孔细胞 RNA,进行 RNA 逆转录和 RT-qPCR, $\beta$ -actin 作为内参比较细胞中 hTERT 基因的表达。用  $2^{-\Delta\Delta\alpha}$ 方法分析 mRNA 相对

表达量。

#### 1.2.7 MTT方法检测细胞增殖

将 HepG2 细胞按照 8×10³ 细胞/孔接种于 96 孔板,在无血清条件下分别将终浓度为 12.5 μmol/L的 Dz、V4-2、V4-2-Dz 与细胞共同孵育,6 h后加入 1% 血清的 DMEM 培养基中继续培养,分别于 18、36、54、72 h加入 MTT 检测,在波长 450 nm 读吸光度 (*A*) 值。

#### 1.2.8 数据分析

实验数据采用 GraphPad Prism 8.0 软件分析,两组数据比较采用 t 检验,多组数据比较采用 Oneway ANOVA 检验,以 P < 0.05 认为差异具有统计学意义。

#### 2 结 果

## 2.1 VASN核酸适配体与端粒酶逆转录酶脱氧核酶 偶联物(V4-2-Dz)二级结构预测

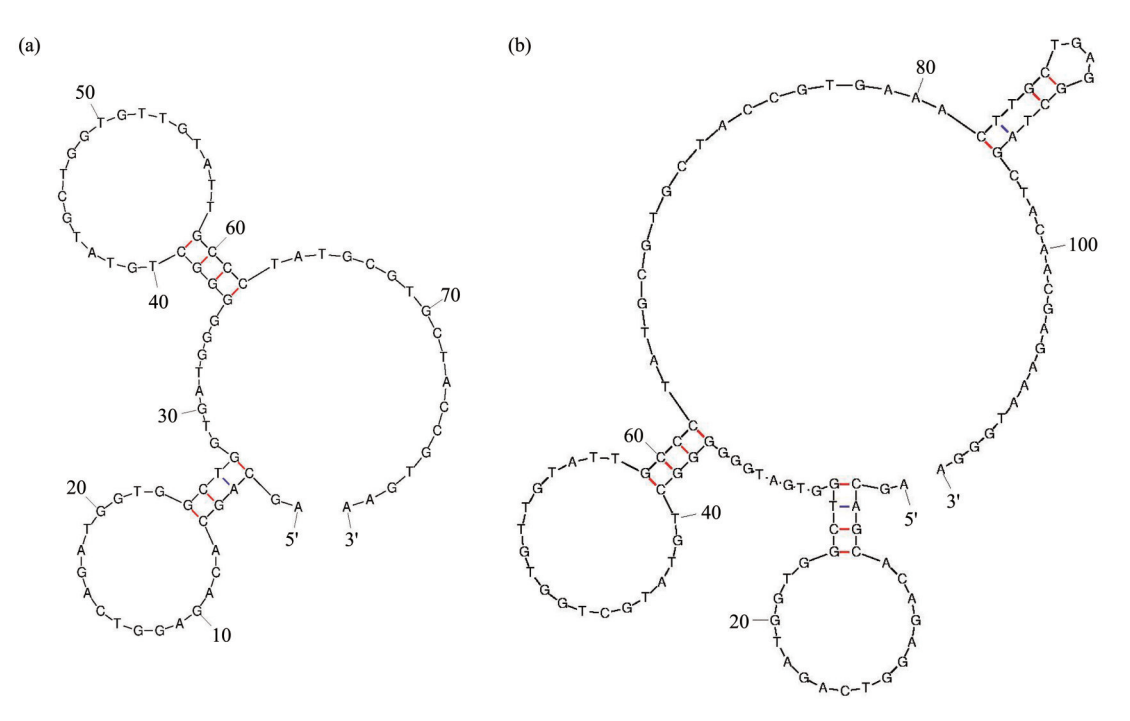
利用 Mfold 网站分析 V4-2 和连接 hTERT 脱氧核酶偶联物 V4-2-Dz序列的二级结构  $^{[17]}$ , 条件设置为:温度  $37^{\circ}$ C,Na<sup>+</sup>浓度 150 mmol/L,Mg<sup>2+</sup>浓度 1 mmol/L。图 1a 显示 V4-2 主要的结构为茎-环结构,图 1b 为 V4-2-Dz 的结构,其中  $1\sim80$  bp 为 V4-2 序列, $81\sim113$  为 Dz序列,V4-2 序列的结构与图 1a 一致,表明连接脱氧核酶后没有影响 V4-2 的结构。V4-2 和 V4-2-Dz 的 吉 布 斯 自 由 能  $\Delta G$  分 别 为 -3.75 kJ/mol、-4.51 kJ/mol,说明其结构均较为稳定。

#### 2.2 Dz和V4-2-Dz对底物RNA的体外切割活性

体外合成 hTERT RNA 片段后,将终浓度为25 nmol/L的 Dz 和 V4-2-Dz 与终浓度为2.5 μmol/L的 hTERT RNA 孵育不同时间,检测 V4-2-Dz 的底物切割活性。随着反应时间的增加,Dz 和 V4-2-Dz 对底物的切割量逐渐升高,与Dz 相比,V4-2-Dz 的切割效率有所降低,但仍具有较强的切割活性(图2)。

#### 2.3 V4-2-Dz与肝癌细胞结合

由于VASN在肝癌细胞中高表达,在正常肝细胞中低表达。因此,VASN的适配体V4-2能够与肝癌细胞发生特异结合。将Dz、V4-2、V4-2-Dz序列的5'端标记FAM荧光,与肝癌细胞HepG2、正常肝细胞L02细胞孵育,通过流式细胞术和激光共聚焦检测连接Dz后V4-2-Dz是否与肝癌细胞特异性结合。



生物化学与生物物理进展

Fig. 1 Mfold predicts the secondary structure of V4-2 and V4-2-Dz (a) V4-2; (b) V4-2-Dz.

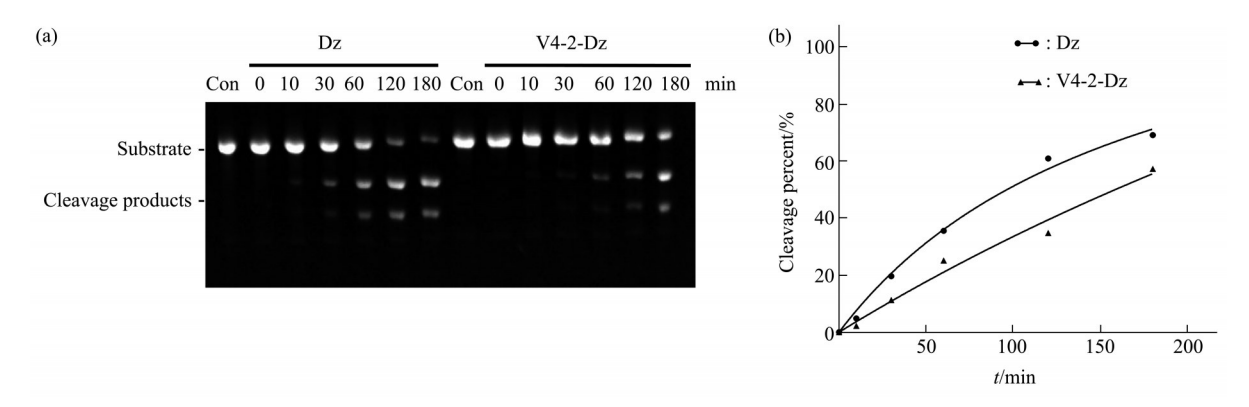


Fig. 2 hTERT RNA was cleaved by Dz and V4-2-Dz in vitro (a) Dz and V4-2-Dz; (b) kinetic profiles of Dz and V4-2-Dz.

流式细胞术结果如图3所示, HepG2细胞与 FAM 标记的 V4-2、V4-2-Dz 孵育后与对照组 (control, Con) 相比, 荧光强度峰值均发生偏移, 但是与Dz孵育后未发生偏移(图3a), L02与三条

核苷酸序列孵育后峰值均未发生偏移(图3b),说 明 V4-2 能够结合 HepG2, 并且 V4-2-Dz 与 V4-2 比 较,结合能力未发生改变。

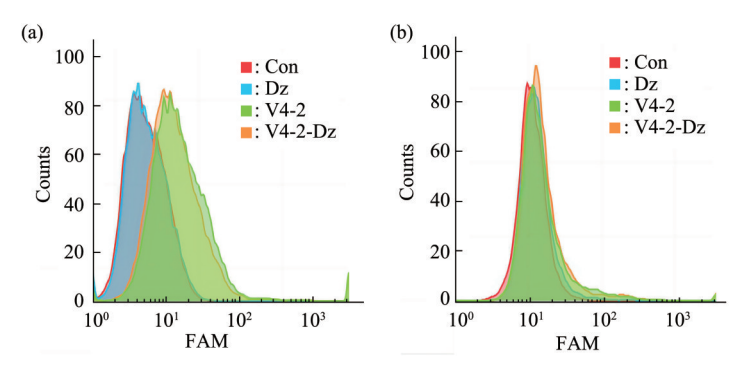


Fig. 3 Binding activity of V4–2–Dz to hepatocellular carcinoma cells detected by flow cytometry

(a) HepG2 cells; (b) L02 cells.

激光共聚焦检测结果如图4所示,HepG2细胞与FAM标记的V4-2、V4-2-Dz孵育后与Con、Dz组相比,观察到明显的荧光强度,说明V4-2能够

结合 HepG2 细胞, 并且 V4-2-Dz 与 V4-2 比较, 结合能力未发生明显变化。

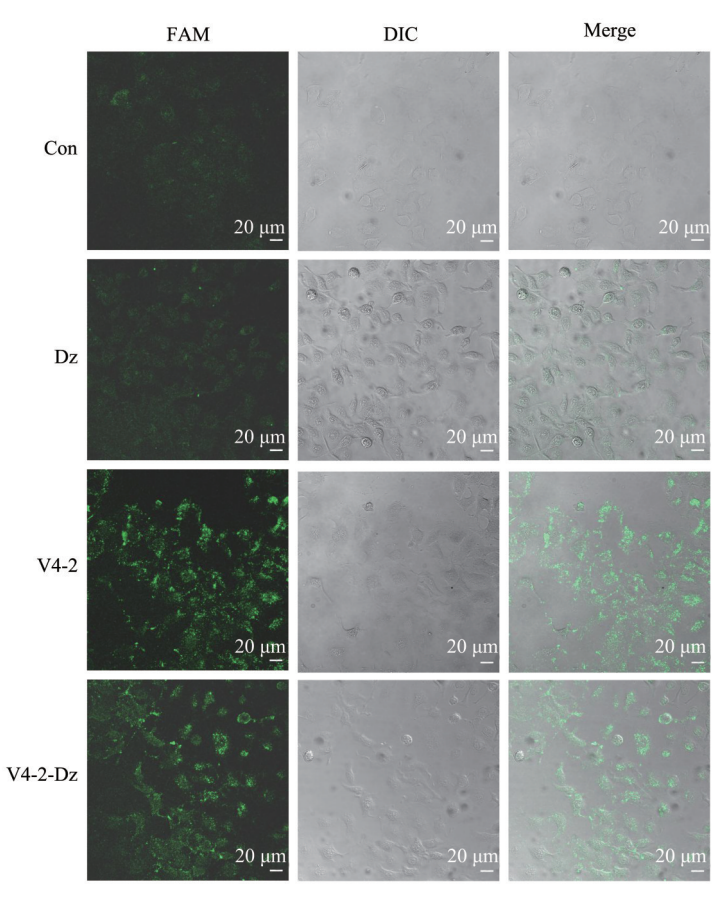


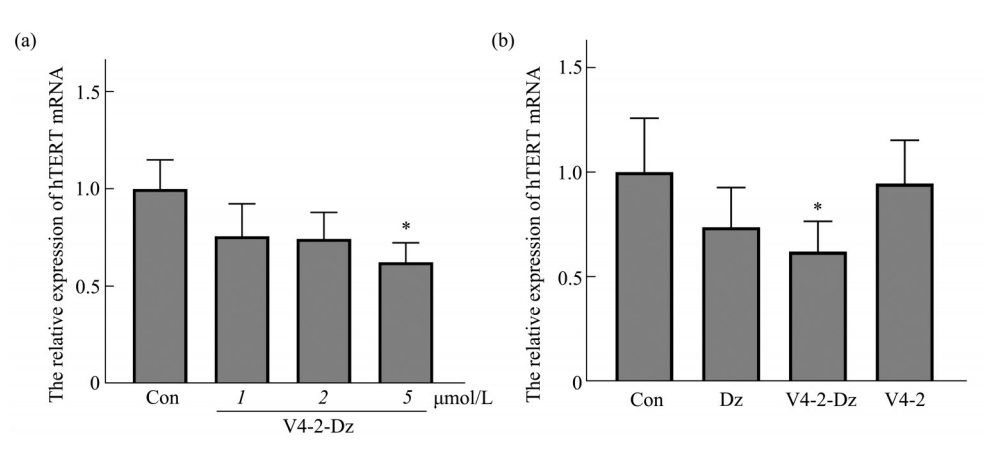
Fig. 4 Binding activity of V4-2-Dz to hepatocellular carcinoma cells detected by laser confocal

#### 2.4 V4-2-Dz降低端粒酶催化亚基mRNA表达 水平

生物化学与生物物理进展

在未加脂质体的条件下,向HepG2细胞培养 液中加入不同浓度的 V4-2-Dz 共孵育, 检测其对 hTERT mRNA表达的影响。随着 V4-2-Dz浓度的增 加, HepG2细胞中hTERT mRNA的表达逐渐降低

(图5a)。在分别加入相同浓度的Dz、V4-2-Dz以及 V4-2的HepG2细胞中,与Con相比,加入Dz和 V4-2-Dz对hTERT mRNA水平都具有降低效果,但 V4-2-Dz的效果更为显著,差异具有统计学意义 (P<0.05)(图5b), 说明连接V4-2后可以增强Dz 的工作能力。



The level of hTERT mRNA expression in HepG2 cells after incubation with V4-2-Dz (a) V4-2-Dz; (b) Dz, V4-2-Dz and V4-2. \*P < 0.05.

#### 2.5 V4-2-Dz抑制HepG2细胞增殖

将 Dz、V4-2、V4-2-Dz 分别加入 HepG2 细胞 培养液中,检测其对HepG2细胞增殖的影响。与 Con相比, V4-2-Dz抑制细胞增殖的能力有显著性 差异 (P<0.01) (图6)。

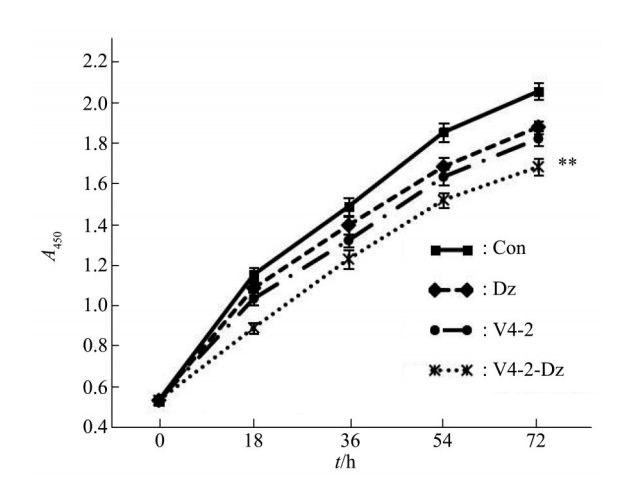


Fig. 6 Detection of HepG2 cell proliferation after incubation with Dz, V4-2 and V4-2-Dz \*\*P<0.01 vs control group.

#### 论 3 讨

本研究将 VASN 蛋白的核酸适配体 V4-2 与靶 向 hTERT mRNA 的脱氧核酶 Dz连接,通过 Mfold 预测的二级结构表明, 在V4-2-Dz 偶联物中对 V4-2 的结构没有产生明显的影响,对Dz左结合臂可能 存在碱基互补配对情况,但仍然以独立形式存在。 尽管二级结构预测存在一定不准确性, 二级结构预 测结果间接证明 V4-2-Dz 仍然具有适配体和脱氧核 酶的功能结构。通过检测 V4-2-Dz 的体外切割活性 发现, V4-2-Dz仍具有较强的切割活性但与Dz相 比活性有所降低,可能由于左端结合臂过长形成空 间位阻造成的。流式细胞术和激光共聚焦实验结果 均显示 V4-2-Dz与肝癌细胞 HepG2 结合的特异性未 发生明显改变,表明Dz并未减弱V4-2对细胞结合 的能力,说明V4-2具有稳定的功能结构。因此, 将其转染细胞后,可靶向降解hTERT mRNA并抑 制细胞增殖。

目前开发递送脱氧核酶的方法主要分为两种, 一种是通过纳米颗粒将脱氧核酶递送至细胞, 比如 胶体金纳米粒子、壳聚糖纳米粒子等[18-19],另一 种则是利用阳离子分子,例如阳离子聚合物、脂质 体等[20-21],与负电荷的脱氧核酶通过静电相互作 用结合,通过膜融合进入细胞。但是这些方法仍存 在较大缺陷,比如各种材料制备较为繁琐,并且在 高浓度下具有细胞毒性。适配体可以作为有效的递 送介质使各种类型的寡核苷酸在细胞中发挥作用, 为脱氧核酶与适配体的结合提供了良好的基础。上 皮细胞黏附分子 (epithelial cell adhesion molecule, EpCAM) 是一种I型跨膜糖蛋白,在多种上皮来源 肿瘤细胞中高表达<sup>[22]</sup>,将靶向EpCAM的适配体与 靶向 Polo 样激酶 1 (polo-like kinase 1, PLK1) 的 siRNA共价连接,其选择性进入表达 EpCAM 的乳 腺癌细胞,并使PLK1表达降低[23]。受体酪氨酸激 酶 (AXL areceptor tyrosine kinase, AXL) 同样在 多种癌症细胞中高表达,将AXL的适配体GL21.T 与抑癌基因miR-148b连接,特异抑制小鼠AXL阳 性肿瘤生长 [24]。适配体作为靶向分子在药物分子 递送中的研究日益受到重视。

本研究为肝癌的治疗和脱氧核酶的有效递送提供了一种可行方案。VASN蛋白的适配体V4-2能够作为一种递送介质与各种具有沉默作用的寡核苷酸(DNazyme、siRNA、ASO、miRNA等)连接,靶向肝癌细胞发挥作用。靶向hTERT的脱氧核酶Dz同样能够和其他癌细胞特异膜蛋白的核酸适配体连接,靶向各种类型的癌细胞发挥作用,为癌症的临床治疗提供了基础。另外,适配体与脱氧核酶的连接方向可能影响脱氧核酶的活性[25],后续可检测在脱氧核酶的3'或5'端连接适配体后是否切割活性是否一致,也可在适配体与脱氧核酶的连接位点加入接头序列,即若干个不同碱基,确保适配体与脱氧核酶的功能结构不受影响。基于适配体和脱氧核酶偶联物方法未来仍存在优化空间。

#### 4 结 论

VASN蛋白的核酸适配体与端粒酶逆转录酶催化亚基的脱氧核酶偶联物 V4-2-Dz具有靶向肝癌细胞递送和脱氧核酶底物切割活性,基于细胞靶向和穿膜递送的适配体 V4-2 与脱氧核酶的偶联物可作为一种新型生物制剂用于肿瘤药物研究。

#### 参考文献

[1] Silverman S K. Catalytic DNA: scope, applications, and biochemistry of deoxyribozymes. Trends Biochem Sci, 2016,

- 41(7): 595-609
- [2] Borggräfe J, Victor J, Rosenbach H, et al. Time-resolved structural analysis of an RNA-cleaving DNA catalyst. Nature, 2022, 601(7891): 144-149
- [3] Zhu L, Yang J, Ma Y, et al. Aptamers entirely built from therapeutic nucleoside analogues for targeted cancer therapy. J Am Chem Soc, 2022, 144(4): 1493-1497
- [4] Catuogno S, Di Martino MT, Nuzzo S, et al. An anti-BCMA RNA aptamer for miRNA intracellular delivery. Mol Ther Nucleic Acids, 2019, 18: 981-990
- [5] Esposito CL, Nuzzo S, Catuogno S, et al. STAT3 gene silencing by aptamer-siRNA chimera as selective therapeutic for glioblastoma. Mol Ther Nucleic Acids. 2018, 10: 398-411
- [6] Iaboni M, Russo V, Fontanella R, et al. Aptamer-mirna-212 conjugate sensitizes NSCLC cells to TRAIL. Mol Ther Nucleic Acids, 2016, 5: e289
- [7] Liu F, Zhang J, Chen R, et al. Highly effective colorimetric and visual detection of ATP by a DNAzyme-aptamer sensor. Chem Biodivers, 2011, 8(2): 311-316
- [8] Jiang J, He Y, Yu X, et al. A homogeneous hemin/G-quadruplex DNAzyme based turn-on chemiluminescence aptasensor for interferon-gamma detection via in-situ assembly of luminol functionalized gold nanoparticles, deoxyribonucleic acid, interferon-gamma and hemin. Anal Chim Acta, 2013, 791: 60-64
- [9] Zhu B C, He J, Xia X Y, *et al.* Solution structure of a thrombin binding aptamer complex with a non-planar platinum(ii) compound. Chem Sci, 2022, **13**(28): 8371-8379
- [10] Subramanian N, Kanwar J R, Akilandeswari B, et al. Chimeric nucleolin aptamer with survivin Dnazyme for cancer cell targeted delivery. Chem Commun (Camb), 2015, 51(32): 6940-6943
- [11] Li X, Yang F, Zhou W, *et al.* Targeted and direct intracellular delivery of native DNAzymes enables highly specific gene silencing. Chem Sci, 2020, **11**(33): 8966-8972
- [12] Li S, Li H, Yang X, et al. Vasorin is a potential serum biomarker and drug target of hepatocarcinoma screened by Subtractive-Emsa-Selex to clinic patient serum. Oncotarget, 2015, 6(12): 10045-10059
- [13] 李慧, 王玮, 丁红梅, 等. Vasorin 蛋白特异单链 DNA 适配体的 筛选与鉴定. 生物技术通讯, 2018, **29**(4): 459-464 Li H, Wang W, Ding H M, *et al.* Lett Biotech, 2018, **29**(4): 459-464
- [14] Deng W, Tsao S W, Guan X Y, et al. Distinct profiles of critically short telomeres are a key determinant of different chromosome aberrations in immortalized human cells: whole-genome evidence from multiple cell lines. Oncogene, 2004, 23(56): 9090-9101
- [15] Weinrich S L, Pruzan R, Ma L, et al. Reconstitution of human telomerase with the template RNA component HTR and the catalytic protein subunit HTRT. Nat Genet, 1997, 17(4): 498-502
- [16] 余秉翔,朱捷,刘又宁,等.端粒酶催化亚基脱氧核酶抑制 A549/DDP 耐药细胞生长的实验研究.中国肺癌杂志,2006, 5:405-408
  - Yu B X, Zhu J, Liu Y N, *et al.* Chinese J Lung Cancer, 2006, 5:405-408

- [17] Zuker M. Mfold Web Server for nucleic acid folding and hybridization prediction. Nucleic Acids Res, 2003, 31(13): 3406-3415
- [18] Tack F, Noppe M, Van Dijck A, *et al.* Delivery of a DNAzyme targeting c-myc to HT29 colon carcinoma cells using a gold nanoparticulate approach. Pharmazie, 2008, **63**(3): 221-225
- [19] Tan M L, Friedhuber A M, Dass C R. Co-nanoencapsulated doxorubicin and Dz13 control osteosarcoma progression in a murine model. J Pharm Pharmacol, 2013, 65(1): 35-43
- [20] Pun S H, Tack F, Bellocq N C, et al. Targeted delivery of RNAcleaving DNA enzyme (DNAzyme) to tumor tissue by transferrinmodified, cyclodextrin-based particles. Cancer Biol Ther, 2004, 3(7): 641-650
- [21] Chan C W, Khachigian L M. DNAzyme delivery approaches in

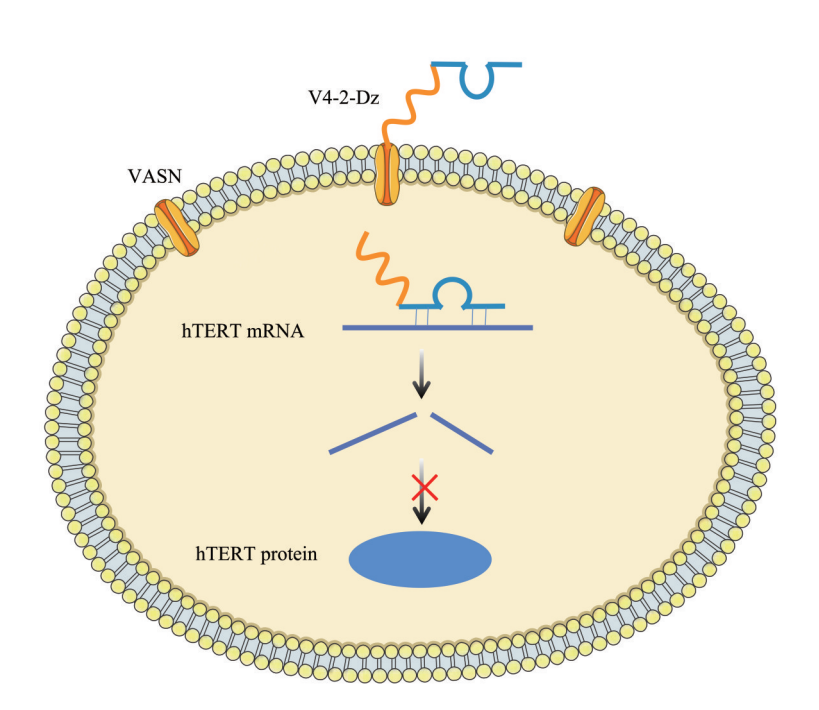
- biological settings. Curr Med Chem, 2013, 20(28): 3448-3455
- [22] Zhang Y, Xie X, Yeganeh P N, et al. Immunotherapy for breast cancer using EpCAM aptamer tumor-targeted gene knockdown. Proc Natl Acad Sci USA, 2021, 118(9): e2022830118
- [23] Gilboa-Geffen A, Hamar P, Le M T, et al. Gene knockdown by EpCAM aptamer-siRNA chimeras suppresses epithelial breast cancers and their tumor-initiating cells. Mol Cancer Ther, 2015, 14(10):2279-2291
- [24] Quirico L, Orso F, Esposito C L, et al. Axl-148b chimeric aptamers inhibit breast cancer and melanoma progression. Int J Biol Sci, 2020, 16(7): 1238-1251
- [25] Jafari M, Rezaei M, Kalantari H, et al. DNAzyme-aptamer or aptamer-DNAzyme paradigm: biochemical approach for aflatoxin analysis. Biotechnol Appl Biochem, 2018, 65(2): 274-280

### Functional Study of Conjugate of VASN Aptamer–DNAzyme for Telomerase Reverse Transcriptase\*

MA Fei-Yue<sup>1)\*\*</sup>, LI Hui<sup>2)\*\*</sup>, LIU Xue-Mei<sup>2)</sup>, TAI Fu-Min<sup>1)</sup>, SHAO Ning-Sheng<sup>2)</sup>, GAO Bo<sup>2)\*\*\*</sup>, ZHENG Xiao-Fei<sup>1)\*\*\*</sup>

(¹)Beijing Key Laboratory for Radiobiology, Institute of Radiation Medicine, Academy of Military Medical Sciences, Academy of Military Sciences, Beijing 100850, China;

#### **Graphical abstract**



**Abstract Objective** To investigate the target RNA cleavage activity of V4-2-Dz, a conjugate formed by coupling the aptamer V4-2 of the hepatocellular carcinoma cell-specific membrane protein VASN (vasorin) with the DNAzyme (Dz) targeting the telomerase reverse transcriptase (hTERT), *in vitro* and in hepatocellular carcinoma cells, and to establish a new strategy for DNAzyme delivery. **Methods** The secondary structure of V4-2-Dz was predicted by using the Mfold website and the cleavage activity of V4-2-Dz was examined by

ZHENG Xiao-Fei. Tel: 86-10-66931237, E-mail: zhengxf@bmi.ac.cn

GAO Bo. Tel: 86-10-66931301, E-mail: gb5029@hotmail.com

Received: July 6, 2023 Accepted: August 18, 2023

<sup>&</sup>lt;sup>2)</sup>Institute of Military Cognition and Brain Sciences, Academy of Military Medical Sciences, Academy of Military Sciences, Beijing 100850, China)

<sup>\*</sup> This work was supported by grants from The National Natural Science Foundation of China (31570817, 32071290).

<sup>\*\*</sup> These authors contributed equally to this work.

<sup>\*\*\*</sup> Corresponding author.

in vitro cleavage assay. And then, the ability of V4-2-Dz binding to hepatocellular carcinoma HepG2 cells was examined by flow cytometry and laser confocal assay. The effects of V4-2-Dz on the hTERT mRNA expression and cell proliferation of HepG2 cells were analyzed by using RT-qPCR and MTT assays. **Results** *In vitro* cleavage assays showed that V4-2-Dz has hTERT RNA cleavage activity. Flow cytometry and laser confocal results showed that V4-2-Dz specifically binds to HepG2 cells and could reduce the hTERT mRNA levels and inhibit cell proliferation significantly. **Conclusion** The conjugate of aptamer V4-2 with DNAzyme of telomerase reverse transcriptase, V4-2-Dz, has targeted cellular delivery and cleavage activity. The conjugate based on the aptamer and DNazyme provides a new idea for antitumor drug research.

**Key words** VASN protein, aptamer, telomerase reverse transcriptase, DNAzyme, hepatoma **DOI:** 10.16476/j.pibb.2023.0263